

projiziert, im Seitenriß c aber als Tangente am Kreis vom Halbmesser r erscheint und die vom Profillote in D getroffen wird. P liege im Augenblick des Eingriffs in der Entfernung x von der Mittellinie der Verzahnung, parallel zur Schneckenachse gemessen und im Abstände y von der Wälzlinie oder vom Punkte D senkrecht zur Schneckenachse gemessen. Da nach Riß b :

$$\frac{x}{y} = \operatorname{tg} \beta \quad \text{oder} \quad y = \frac{x}{\operatorname{tg} \beta}$$

ist, folgt, daß für alle Punkte im Abstand x von der Mittellinie, die also in ein und demselben Schnitt senkrecht zur Schneckenachse liegen, auch die Größe y unveränderlich ist. Dieser Umstand ermöglicht eine einfache Ermittlung der Eingriffslinien in derartigen Schnittebenen. In Abb. 1968d wird für einen zweiten Punkt P' , der in derselben Schnittebene wie P liegt, die Richtung der Normalen dadurch gefunden, daß zunächst $MC' = e$ senkrecht zu $P'M$ aufgetragen wird. Dann ist der Eingriffspunkt D' der Schnitt der Normalen $C'P'$ mit einem Lote in Q' , wenn $P'Q' = y$ ist.

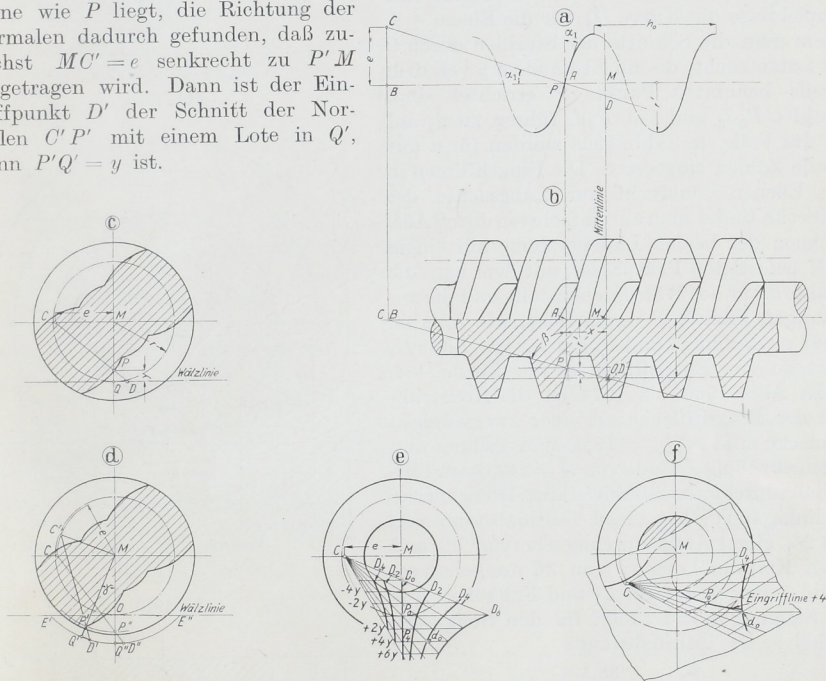


Abb. 1968. Zur Konstruktion der Eingrifffläche nach Schiebel.

P' gelangt zweimal zum Eingriff, wenn nämlich D' , das sich auf einem Kreis vom Halbmesser MD' bewegt, nach E' oder E'' auf der Wälzlinie kommt. Denkt man sich MP' um den Winkel γ nach P'' auf der Mittellinie gedreht, so ergibt sich der Halbmesser $MD' = MD''$ durch Ziehen von $C'P''$, Abtragen von $P''Q'' = y$ und Errichten des Lotes in Q'' . Zweckmäßigerweise wählt man die Schnittebenen in Abhängigkeit von der Schneckenenteilung t oder von der Steigung h_0 :

$$x = n \cdot 0,1 \cdot t \cdot \operatorname{tg} \beta \quad \text{oder} \quad x = n \cdot 0,1 h_0 \operatorname{tg} \beta \quad (611)$$

und demnach die Größen

$$y = n \cdot 0,1 \cdot t \quad \text{oder} \quad y = n \cdot 0,1 h_0, \quad (612)$$

wobei

$$n = 0, +1, +2, +3, \dots -1, -2, -3, \dots$$